

FEM für Dynamik

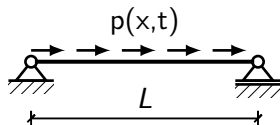
Kapitel 3: Bewegungsgleichung der FEM

Prof. Dr.-Ing. Thomas Grätsch

Department Maschinenbau und Produktion
Fakultät Technik und Informatik
Hochschule für Angewandte Wissenschaften Hamburg

Dynamische Stab- und Balkenelemente

Dynamisches Stabelement:



mit $\mu = \rho \cdot A$ „spezifische Dichte“

Dynamische Verschiebungsdifferentialgleichung:

$$-EA u''(x, t) + \mu \ddot{u}(x, t) = p(x, t) \quad (1)$$

Multiplikation mit einer virtuellen Verschiebung v und Integration liefert:

$$\int_0^L -EA u'' v \, dx + \int_0^L \mu \ddot{u} v \, dx = \int_0^L p v \, dx \quad (2)$$

Nach einmaliger partieller Integration über x :

$$\int_0^L EA u' v' \, dx + \int_0^L \mu \ddot{u} v \, dx = \int_0^L p v \, dx + [EA u' v]_0^L \quad (3)$$

Dynamische Stab- und Balkenelemente

Mit $N = EA u'$ folgt

$$\int_0^L EA u' v' dx + \int_0^L \mu \ddot{u} v dx = \int_0^L p v dx + [Nv]_0^L \quad (4)$$

Berechnung des Randterms für das obige Bsp.

$$[Nv]_0^L = \underbrace{N(L)}_{=0} v(L) - N(0) \underbrace{v(0)}_{=0} = 0$$

Prinzip der virtuellen Verschiebungen in der Dynamik:
(„schwache“ Form der DGL)

$$\int_0^L EA u' v' dx + \int_0^L \mu \ddot{u} v dx = \int_0^L p v dx + \underbrace{[Nv]_0^L}_{\text{allg. Fall}} \quad (5)$$

Dynamische Stab- und Balkenelemente

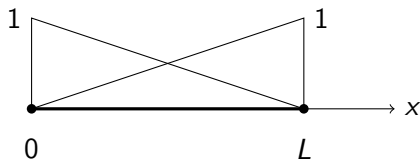
Semidiskreter FE-Ansatz:

$$u_h(x, t) = \sum_{i=1}^n u_i(t) \cdot \phi_i(x) \quad (6)$$

Verwendung derselben Ansatzfunktionen als virtuelle Verschiebungen:

$$v_h(x) = \phi_j(x) \quad j = 1, \dots, n \quad (7)$$

Verwendung linearer Ansatzfunktionen:



$$\phi_1(x) = 1 - \frac{x}{L}$$
$$\phi_2(x) = \frac{x}{L}$$

Dynamische Stab- und Balkenelemente

Einsetzen von Gl. (6) und (7) in Gl. (5) liefert:

$$\begin{aligned} & \int_0^L EA \sum_{i=1}^n u_i(t) \phi'_i(x) \phi'_j(x) dx + \int_0^L \mu \sum_{i=1}^n \ddot{u}_i(t) \phi_i(x) \phi_j(x) dx \\ &= \int_0^L p \phi_j dx + [N \phi_j]_0^L \quad j = 1, \dots, n \end{aligned} \quad (8)$$

Zeitabhängige Konstanten können aus dem Integral gezogen werden:

$$\begin{aligned} & \underbrace{\int_0^L EA \sum_{i=1}^n \phi'_i(x) \phi'_j(x) dx}_{\mathbf{K}} \underbrace{u_i(t)}_{\mathbf{u}(t)} + \underbrace{\int_0^L \mu \sum_{i=1}^n \phi_i(x) \phi_j(x) dx}_{\mathbf{M}} \underbrace{\ddot{u}_i(t)}_{\ddot{\mathbf{u}}(t)} \\ &= \underbrace{\int_0^L p \phi_j dx}_{\mathbf{F}_p(t)} + \underbrace{[N \phi_j]_0^L}_{\mathbf{F}_N(t)} \quad j = 1, \dots, n \\ & \quad \underbrace{\hspace{10em}}_{\mathbf{F}(t)} \end{aligned} \quad (9)$$

Dynamische Stab- und Balkenelemente

Aus Gl. (9) folgt die Bewegungsgleichung der FEM des ungedämpften Zug-Druck-Stabs:

$$\mathbf{K}\mathbf{u}(t) + \mathbf{M}\ddot{\mathbf{u}}(t) = \mathbf{F}(t) \quad (10)$$

Steifigkeitsmatrix:

$$\mathbf{K} = \frac{EA}{L} \begin{bmatrix} 1 & -1 \\ -1 & 1 \end{bmatrix}$$

$$k_{ij} = \int_0^L EA \phi'_i(x) \phi'_j(x) dx$$

(Konsistente) Massenmatrix:

$$\mathbf{M} = \mu L \begin{bmatrix} 1/3 & 1/6 \\ 1/6 & 1/3 \end{bmatrix}$$

$$m_{ij} = \int_0^L \mu \phi_i(x) \phi_j(x) dx$$

Übung: Berechnen Sie die Elemente der Massenmatrix.

Dynamische Stab- und Balkenelemente

Alternative Massenmatrizen:

- „lumped“ Massenmatrix

Idee: Aufteilen der Gesamtmasse auf die Knoten

$$\mathbf{M}_L = \mu L \begin{bmatrix} 1/2 & 0 \\ 0 & 1/2 \end{bmatrix}$$

- Mittelwert aus \mathbf{M} und einer diagonal gleichmäßig verteilten Massenmatrix (wird in Nastran verwendet)

$$\mathbf{M}_N = \mu L \begin{bmatrix} 5/12 & 1/12 \\ 1/12 & 5/12 \end{bmatrix}$$

Dynamische Stab- und Balkenelemente

Beobachtung

Die Summe der Elemente der Massenmatrix bezüglich einer Raumrichtung (x, y, z) entspricht stets der Gesamtmasse des Elements

Beweisskizze:

$$\mathbf{M} = \mu L \begin{bmatrix} 1/3 & 1/6 \\ 1/6 & 1/3 \end{bmatrix} = \mu \int_0^L \begin{bmatrix} \phi_1 \phi_1 & \phi_1 \phi_2 \\ \phi_2 \phi_1 & \phi_2 \phi_2 \end{bmatrix} dx$$

Jeder FE-Ansatz besitzt die "Partition of Unity"-Eigenschaft:

$$\sum_i \phi_i = 1$$

Somit folgt für die Summe der Matrizenzelemente:

$$\phi_1 + \phi_2 = 1$$

$$(\phi_1 + \phi_2)^2 = 1$$

$$\phi_1^2 + \phi_2^2 + 2\phi_1\phi_2 = 1$$

Dynamische Stab- und Balkenelemente

Analoge Vorgehensweise liefert für die dynamische Balken-DGL

$$EI w^{IV}(x, t) + \mu \ddot{w}(x, t) = p(x, t) \quad (11)$$

die Bewegungsgleichung

$$\mathbf{K}\mathbf{u}(t) + \mathbf{M}\ddot{\mathbf{u}}(t) = \mathbf{F}(t) \quad (12)$$

mit folgender Steifigkeitsmatrix und konsistenter Massenmatrix:

$$\mathbf{K} = \frac{EI}{L^3} \begin{bmatrix} 12 & -6L & -12 & -6L \\ & 4L^2 & 6L & 2L^2 \\ & & 12 & 6L \\ \text{sym.} & & & 4L^2 \end{bmatrix} \quad \mathbf{M} = \frac{\mu L}{420} \begin{bmatrix} 156 & -22L & 54 & 13L \\ & 4L^2 & -13L & -3L^2 \\ & & 156 & 22L \\ \text{sym.} & & & 4L^2 \end{bmatrix}$$

Strukturdynamische 2D- und 3D-Elemente

Grundgleichungen der 2D- und 3D-Elastizitätstheorie:

$$\boldsymbol{\epsilon} = \mathbf{d} \cdot \mathbf{u} \quad (13)$$

$$\boldsymbol{\sigma} = \mathbf{E} \cdot \boldsymbol{\epsilon} \quad (14)$$

$$\mathbf{d}^T \cdot \boldsymbol{\sigma} = -\mathbf{p} \quad (15)$$

Prinzip der virtuellen Verschiebungen in der Dynamik (2D und 3D):

$$\int_V \delta \boldsymbol{\epsilon}^T \cdot \boldsymbol{\sigma} dV + \int_V \rho \ddot{\mathbf{u}}^T \cdot \delta \mathbf{u} dV = \int_V \delta \mathbf{u}^T \cdot \mathbf{p} dV + \int_\Gamma \delta \mathbf{u}^T \cdot \mathbf{t} dS \quad (16)$$

Mit

$\delta \boldsymbol{\epsilon}$ = virtuelle Dehnungen

$\delta \mathbf{u}$ = virtuelle Verschiebungen

\mathbf{t} = Randlasten

Strukturdynamische 2D- und 3D-Elemente

Semi-diskreter FE-Ansatz:

$$\mathbf{u}_h = \boldsymbol{\phi}^T(x, y, z) \cdot \mathbf{U}(t) \quad (17)$$

Zweimalige Differentiation nach t ergibt

$$\ddot{\mathbf{u}}_h = \boldsymbol{\phi}^T(x, y, z) \cdot \ddot{\mathbf{U}}(t) \quad (18)$$

Verwendung derselben Ansatzfunktionen als virtuelle Verschiebungen:

$$\delta \mathbf{u}_h = \boldsymbol{\phi}^T(x, y, z) \quad (19)$$

Aus Gl. (13) folgt somit

$$\delta \epsilon_h = \mathbf{d} \cdot \delta \mathbf{u}_h = \mathbf{d} \cdot \boldsymbol{\phi}^T =: \mathbf{D} \quad (20)$$

Strukturdynamische 2D- und 3D-Elemente

Für die Spannungen ergibt sich aus Gl. (14)

$$\boldsymbol{\sigma}_h = \mathbf{E} \cdot \boldsymbol{\epsilon}_h = \mathbf{E} \cdot \mathbf{d} \cdot \mathbf{u}_h = \mathbf{E} \cdot \underbrace{\mathbf{d} \cdot \boldsymbol{\phi}^T}_{\mathbf{D}} \cdot \mathbf{U} = \mathbf{E} \cdot \mathbf{D} \cdot \mathbf{U} \quad (21)$$

Einsetzen von Gl. (17)-(21) in Gl. (16) liefert:

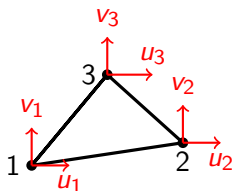
$$\begin{aligned} & \underbrace{\int_V \mathbf{D}^T \cdot \mathbf{E} \cdot \mathbf{D} dV}_{\mathbf{K}} \cdot \mathbf{U} + \underbrace{\int_V \rho \cdot \boldsymbol{\phi} \cdot \boldsymbol{\phi}^T dV}_{\mathbf{M}} \cdot \ddot{\mathbf{U}} \\ &= \underbrace{\int_V \boldsymbol{\phi} \cdot \mathbf{p} dV + \int_{\Gamma} \boldsymbol{\phi} \cdot \mathbf{t} dS}_{\mathbf{F}} \end{aligned} \quad (22)$$

Somit folgt die Bewegungsgleichung der FEM zu:

$$\mathbf{K}\mathbf{U}(t) + \mathbf{M}\ddot{\mathbf{U}}(t) = \mathbf{F}(t) \quad (23)$$

Strukturdynamische 2D- und 3D-Elemente

Beispiel TRIA3-Element (CST-Element):



$$\mathbf{U} = \begin{bmatrix} u_1 \\ u_2 \\ u_3 \\ v_1 \\ v_2 \\ v_3 \end{bmatrix}$$

$$\phi = \begin{bmatrix} \phi_1 & 0 \\ \phi_2 & 0 \\ \phi_3 & 0 \\ 0 & \phi_1 \\ 0 & \phi_2 \\ 0 & \phi_3 \end{bmatrix}$$

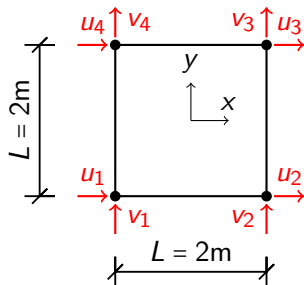
FE-Ansatz:

$$\mathbf{u}_h = \begin{bmatrix} u_h(x, y, t) \\ v_h(x, y, t) \end{bmatrix} = \phi^T(x, y) \cdot \mathbf{U}(t)$$

Weitere strukturmechanische 2D- und 3D-Elemente mit Bewertungen
siehe Skript "Modellierung mit FEM", Kapitel 4, Folien 6-9.

Strukturdynamische 2D- und 3D-Elemente

Übung: Berechnen Sie die konsistente Massenmatrix \mathbf{M} des dargestellten QUAD4-Elements mit linearen Ansatzfunktionen in x - und y -Richtung für eine konstante Dichte ρ und eine konstante Scheibendicke t .



$$\phi_1(x, y) = 1/4 \cdot (1 - x)(1 - y)$$

$$\phi_2(x, y) = 1/4 \cdot (1 + x)(1 - y)$$

$$\phi_3(x, y) = 1/4 \cdot (1 + x)(1 + y)$$

$$\phi_4(x, y) = 1/4 \cdot (1 - x)(1 + y)$$

Einfluss der Dämpfung

Bewegungsgleichung mit Dämpfungsmatrix:

$$\mathbf{K}\mathbf{U}(t) + \mathbf{C}\dot{\mathbf{U}}(t) + \mathbf{M}\ddot{\mathbf{U}}(t) = \mathbf{F}(t) \quad (24)$$

Häufig verwendetes Dämpfungsmodell: „Rayleigh-Dämpfung“

$$\mathbf{C} = \alpha \cdot \mathbf{M} + \beta \cdot \mathbf{K} \quad (\alpha, \beta = \text{Rayleigh-Parameter}) \quad (25)$$

Die Rayleigh-Parameter können aus folgender Formel berechnet werden (Herleitung erfolgt in Kap. 4):

$$D_i = \frac{\alpha}{2\omega_i} + \frac{\beta\omega_i}{2} \quad (26)$$

Mit

D_i : Lehr'sches Dämpfungsmaß der i -ten Eigenform

ω_i : Eigenkreisfrequenz der i -ten Eigenlösung

Einfluss der Dämpfung

Anmerkungen zur Rayleigh-Dämpfung

1. Für jede Eigenkreisfrequenz ergibt sich ein anderer Dämpfungsgrad.
2. Die Rayleigh-Parameter können aus dem Dämpfungsgrad zweier interessierender Eigenfrequenzen bestimmt werden.
3. In der Praxis werden hierfür in der Regel die ersten beiden relevanten Eigenfrequenzen verwendet.
4. Der **massenproportionale** Term $\alpha \cdot \mathbf{M}$ kann physikalisch als äußere Dämpfung interpretiert werden und wirkt besonders intensiv auf die unteren Eigenfrequenzen.
5. Der **steifigkeitsproportionale** Term $\beta \cdot \mathbf{K}$ kann als Werkstoffdämpfung interpretiert werden und wirkt besonders intensiv auf die höheren Eigenfrequenzen.

Übung: Beispiel an der Tafel zur Berechnung der Rayleigh-Parameter.